Доклады Академии наук СССР 1973. Том 210, № 2

УЛК 541.128.13+541.128.3

ФИЗИЧЕСКАЯ ХИМИЯ

К. Г. ИОНЕ, Н. Н. БОБРОВ, академик К. Г. БОРЕСКОВ, Л. А. ВОСТРИКОВА

ОСОБЕННОСТИ КАТАЛИТИЧЕСКОГО ДЕЙСТВИЯ ЦЕОЛИТОВ С ПЕРЕХОДНЫМИ МЕТАЛЛАМИ В РЕАКЦИИ ОКИСЛЕНИЯ ОКИСИ УГЛЕРОДА

С введением переходных металлов кристаллические алюмосиликаты — пеолиты приобретают свойства катализаторов полифункционального действия, способпых ускорять реакции не только кислотно-основного, по и окислительно-восстановительного типа.

В данной работе изучалось окислительно-восстановительное лействие цеолитов с переходными металлами Си, Со, Ni, Fe и Сг в реакции окисления окиси углерода. Состояние катионов исследовалось с помощью магнитных и оптических методов. Каталитическая активность относилась к одному атому металла, выражалась в единицах атомной каталитической активности (а.к.а.) и сравнивалась с а.к.а. поверхностных катпонов в соответствующих окислах. Катионы обычно вводятся в пеолит понным обменом из водных растворов солей. Учитывая состояния катионов металла в растворах, следует выделить два основных типа понного обмена; с растворами содей при рН. много меньших величины, соответствующей началу гипролиза соли и из водных растворов аммиачных комплексов (способ I): в условиях, способствующих частичному гидролизу исходной соли, ассоциации катионов и образованию в растворе полиядерных катионов (способ II). Для кобальта и никеля условия II могут реализоваться в суспензии цеолита в растворе хлоридов или нитратов этих металлов при рH 6-8. Для солей железа гидролиз и ассоциация катионов в растворе уже значительны при р $H \le 2$ (1-3), а для солей хрома — при рH > 4.

Нами установлено, что в зависимости от способа обмена меняется степень ассоциированности катионов в цеолитном каркасе, что приводит, в свою очередь, к изменению их атомной активности на 4—5 порядков.

Так, способ I приводит к связыванию переходных металлов цеолитом преимущественно в форме изолированных катионов. При этом сигналы э.п.р. меди, введенной в цеолит из раствора ее тетрааммиаката при рН 9,5 и концентрации меди в цеолите менее 1,5%, после дегидратации цеолита при 450°, имеют параметры, характерные для изолированных катионов меди в октаэдрических полях. При концептрации меди свыше 1,5% помимо изолированных ионов появляются также слабые магнитные ассоциаты (4, 5). При содержании 5% и более такое состояние меди в цеолите является преимущественным.

Для кобальта и никеля в цеолитах, обработанных по I способу и при глубине обмена 2—80%, получены значения магнитной восприимчивости х при 77° К и магнитных моментов и, характерные для этих катионов в магнитноразбавленном состоянии (6,7) при близких пулю константах Вейса θ (табл. 1). Во всех трех случаях 95—98% переходного металла может быть выведено из цеолита обратным ионным обменом, после чего цеолитный каркас приобретает свойства диамагнетика. Катионы металлов, введенные в цеолит по способу II, даже при малых концентрациях находятся в цеолите преимущественно в ассоципрованном виде.

Так, сигналы э.п.р. меди в таких цеолитах после дегидратации образцов исчезают, что указывает на образование сильных магнитных ассоциатов, по типу взаимодействия приближающихся к антиферромагнитным

структурам.

Содержание изолированных катионов Fe³⁺ (³) и Cr³⁺ в цеолитах FeNaY и CrNaY, по данным э.п.р., составляет не более 0,1—0,2 вес. %, а χ и μ переходных металлов при сохранении ими парамагнитных свойств в этом случае заметно меньше, чем для катионов в магнитноразбавленном состоянии (табл. 1).

Поскольку при этом методами рентгеноструктурного и термогравиметрического анализа отдельную фазу окиси или гидроокиси металла в цеолитах обнаружить не удалось, можно предполагать, что образовавшиеся

Табли**ц**а **1** Магнитные свойства катионов в цеолитном каркасе

Катион	I			II		
	х.10⁴, эме	μ, м.Б.	θ	х∙10⁴, эме	μ, м.Б.	0
Со ^{2 f} N i ^{2 +} F e ^{3 +} Сг ^{3 +}	4-4,2 4,2 -	4,8 3—3,3 —	0±10 0±10 —	$\begin{bmatrix} 2,3\\2,8\\1,7-1,8\\0,05 \end{bmatrix}$	$\begin{bmatrix} 3,6\\2,3\\4,95-5,0\\0,76 \end{bmatrix}$	$\begin{bmatrix} 0 \pm 40 \\ 0 \pm 20 \\ 0 \pm 20 \\ -16 \end{bmatrix}$

соединения имеют высокую степень дисперсности. Обратным ионным обменом удается вывести из каркаса не более 2—5% железа и около 20—30% кобальта и никеля, содержащихся в цеолите. Соединения металла, оставшиеся в цеолите после обратного иоппого обмена, также парамагнитны.

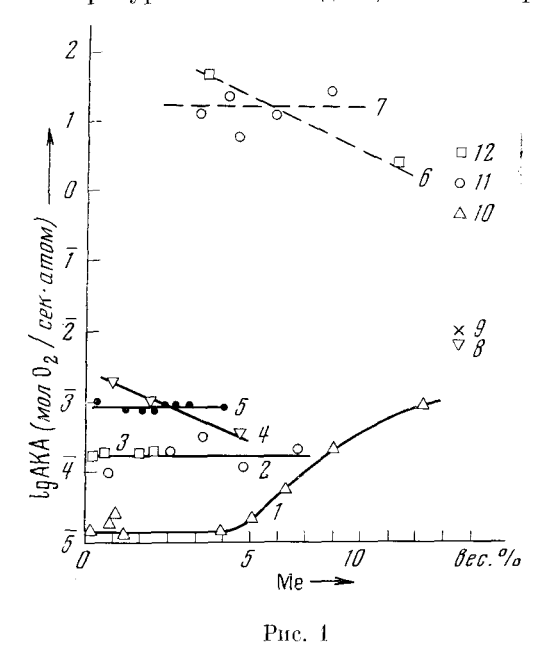
В процессе ионного обмена по способу I и II кристаллическая структура цеолитов сохраняется, о чем свидетельствуют данные рентгеноструктурного анализа и низкотемпературной адсорбции аргона. Каталитическая активность полученных цеолитов в отношении реакции окисления СО определялась в проточно-циркуляционной установке при температурах 150—475° и составе реакционной смеси 20% О₂, 1—5% СО, остальное гелий.

Из рис. 1 можно видеть, что значения а.к.а. переходных металлов, введенных в цеолит по первому способу и находящихся там преимущественно в виде изолированных катионов, на 4—5 порядков пиже а.к.а. поверхностных атомов в соответствующих окислах. Изменение содержания переходного металла в цеолитах с Со и Ni в исследованном дианазоне не влияет на величину а.к.а. В случае Си-цеолита увеличение количества меди от 5 до 12% приводит к росту активности на два порядка, которая тем не менее, остается меньше, чем а.к.а. окисла. Атомная каталитическая активность медьсодержащих цеолитов в отношении реакции окисления водорода, определенная Л. Н. Давыдовой и В. В. Поповским, также меньше а.к.а. СиО на 4—5 порядков, но характер ее изменения с ростом содержания меди иной: с увеличением глубины обмена от 0,2 до 98% а.к.а. пепрерывно возрастает в пределах двух порядков, а энергия активации уменьшается от 20 до 17 ккал/моль.

Введение переходных металлов в цеолиты по II способу привело к получению образцов с много большей, по сравнению с цеолитами I группы, каталитической активностью, которая по величине приближается к активности, отнесенной к одному катиону па поверхности окислов. Так, а.к.а. железо- и хромсодержащих цеолитов, которые, как указывалось выше, содержат катионы преимущественно в ассоциированном виде, всего в десять раз меньше а.к.а. α -Fe₂O₃ и Cr₂O₃ (рис. 1). Активности никеля и кобальта в цеолитах II серии (кривые c и z получены экстраполяцией) при

температуре 394° на шесть порядков больше активности изолированных катионов I серии и являются величинами того же порядка, что и а.к.а. окислов.

На рис. 2 сравниваются а.к.а. цеолитов и окислов в зависимости от температуры. Можно видеть, что в интервале температур 180—200° С а.к.а.



Со и Ni в цеолитах II серии практически равны а.к.а. поверхностных атомов соответствующих окислов.

В отличие от окислов, для которых в различных темпера-

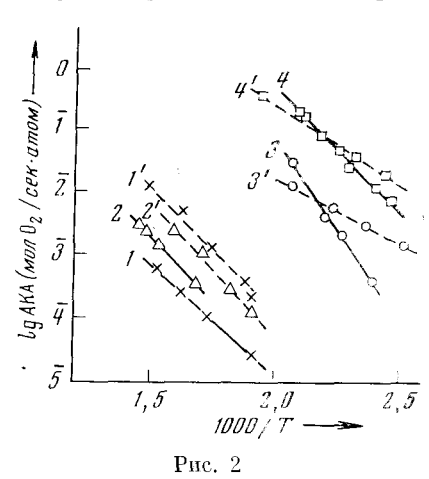


Рис. 1. А.к.а. катионов переходных металлов в цеолитах в реакции окисления СО при 394° С и стационарной концептрации СО в контуре 1 об.% в зависимости от содержания металла и условий поиного обмена. Способ I: $1-\mathrm{CuY},\ 2-\mathrm{NiY},\ 3-\mathrm{CoY};$ способ II: $4-\mathrm{CrY},\ 5-\mathrm{FeY},\ 6-\mathrm{CoY},\ 7-\mathrm{NiY}.$ Окислы: $8-\mathrm{Cr}_2\mathrm{O}_3,\ 9-\alpha\text{-Fe}_2\mathrm{O}_3,\ 10-\mathrm{CuO},\ 11-\mathrm{NiO},\ 12-\mathrm{Co}_3\mathrm{O}_4$

Рис. 2. Зависимость а.к.а. переходных металлов в цеолитах, полученных по способу II, от температуры при стационарной концентрации СО в контуре 1 об.%. $I \sim \text{FeY}$, 2,9% Fe; $I' \sim \alpha\text{-Fe}_2\text{O}_3$,12 м²/г; $2 \sim \text{CrY}$, 1,0% Cr; $2' \sim \text{Cr}_2\text{O}_3$,2,2 м²/г; $3 \sim \text{NiY}$, 8,9% Ni; $3' \sim \text{NiO}$; 12,7 м²/г; $4 \sim \text{CoY}$, 4,3% Co; $4' \sim \text{Co}_3\text{O}_4$, 2,1 м²/г

турных интервалах нами, так же как и в (44), получены отличающиеся энергии активации реакции (для NiO при $t < 220^\circ~E = 9.5$ и $t > 300^\circ~E = 24-25$ ккал/моль, для $\mathrm{Co_3O_4}$ 11 и 15 ккал/моль соответственно), для цеолитов энергии активации во всем исследованном дианазоне температур остаются одинаковыми и равными для NiY 24-26, CoY 17, FeY 18, CrY 20, CuY 19 ккал/моль.

Попиженную активность изолированных катпонов в цеолитах можно было бы связать с их недоступностью реагирующим молекулам. С целью проверки этого предположения на медьсодержащих цеолитах I серии была произведена адсорбция пиридина при 20° и CO, CO₂, H_2 и O_2 при температурах $200-600^\circ$ с последующим исследованием состояния катионов методом э.п.р. По характеру изменения спектра э.п.р. было установлено, что пиридин входит в координационную сферу всех катионов меди в цеолитах. Адсорбция CO при 300° приводит к ослаблению, а при 500° — к полному исчезновению сигнала от обменносвязанных катионов меди (рис. 3). Сигнал от изолированных катионов наблюдается вплоть до 550° и псчезает только при температурах $> 600^\circ$. В случае обработки цеолитов водородом сигнал от обменносвязанных катионов исчезает при 200° , а от изолированных катионов — при 400° . Реокисление цеолитов кислородом при температуре 475° приводит в обоих случаях к практически полному восстановлению характера исходного спектра.

Полученные результаты указывают на то, что все катионы меди в принципе доступны перечисленным выше молекулам, и поэтому трудно причину низкой их удельной активности связывать со стерическими пре-

пятствиями. Наблюдающиеся результаты можно объяснить, исходя из существующих представлений о влиянии энергии (8), а также степени иопности связи (16) поверхностного кислорода на активность катализаторов окисления. Известно, что энергия связи решеточного кислорода в цеолитах сравнительно велика (9), а ее характер по отношению к катиону нереходного металла в значительной степени является ионным (10). Это должно обусловливать низкую подвижность и реакционную способность кислорода каркаса. Хотя, согласно данным (11, 12), введение переходных металлов в цеолит сопровождается удлинеинем связи $Al(Si) - O_3$, а следовательно, ее ослаблением, это, по-видимому, не приводит к заметному увеличению его реакционной способности при температуах ниже 600°. Удельная активность, отнесепная к одному катиону, остается на порядки меньшей, чем активность поверхностных катионов в соответствующих окислах.

Заметное увеличение а.к.а. в случае СиNaY происходит только при появлении обменносвязанных катионов меди. Это, а также результаты исследования методом э.п.р. цеолитов, восстановленных СО, заставляют предполагать, что окисление СО может протекать при наличии по крайней мере пар катионов. Но, кроме того, здесь должно быть учтено и другое об- H_2 при 400° ; 3- обрабостоятельство. Наблюдающееся обменное взаимодействие между катионами можно приписать, согласно реокисленных O_2 схеме Рабо (13), появлению мостичных групп типа ния СО при 500° ; 5-ОН, что особенно вероятно при проведении ионного обмена по способу II. В этом случае катноны металлов частично координированы кислородом,

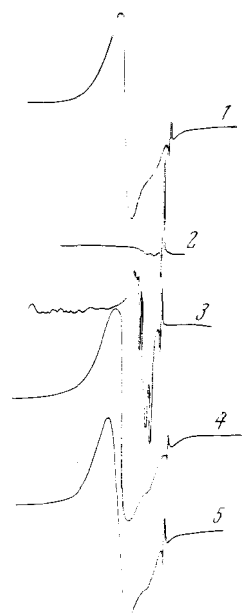


Рис. 3. Снектры э.п.р. для СиУ с 9,1% Си. 1 дегидратированных при 400°: 2 — обработанных тапных СО при 500°; 4 — 475° после восстановлереокисленных О2 при 475° после восстановле-ния Н₂ при 400°

не принадлежащим цеолитному каркасу. Этот кислород должен обладать меньшей эпергией связи, характер его взаимодействия с катионом переходного металла должен быть более ковалентным, следствием чего должна быть его более высокая реакционная способность.

В заключение авторы приносят благодарность Н. Н. Максимову и В. Ф. Ануфриенко за помощь при изучении цеолитов методом э.п.р.

Институт катализа Сибирского отделения Академии наук СССР Новосибирск

Поступило 2 X11 1972.

ЦИТИРОВАННАЯ ЛИТЕРАТУРА

⁴ L. N. Mulay, P. W. Selwood, J. Am. Chem. Soc., 77, 2693 (1955). ² Л. М. Милашевич, С. А. Левина, Н. Ф. Ермоленко, Колл. журн., 31, 4, 543 (1969). Милашевич, С. А. Левина, Н. Ф. Ермоленко, Колл. жури., 31, 4, 543 (1969).
³ Н. Н. Бобров, Г. К. Боресков и др., Кинетика и катализ (в печати).
⁴ Г. К. Боресков, Н. Н. Бобров и др., ДАН, 204, № 4, 887 (1974).
⁵ В. Ф. Ануфриенко, Н. Н. Максимов, К. Г. Ионе, ЖСХ, 13, № 6 (1972).
⁶ П. Селвуд, Магнетохимия, М., 1958.
⁷ Д. Б. Гуденаф, Магнетизм и химическая связь, М., 1968.
⁸ В. И. Маршиева, Кандидатская диссертация, Новосибирск, 1972.
⁹ Г. К. Боресков, В. В. Поповский, Э. А. Мамедов, ДАН, 197, 373 (1974).
¹⁰ Г. К. Боресков, V. Международн. конгресс по катализу, 1972, препринты.
¹⁵ Г. В. Антошин, Х. М. Миначев и др., Preprints of II Intern. Conf. on Moleculare Sieve, 1970, p. 776.
¹² J. А. Rabo, L. Augell et al., Disc. Farad. Soc., 41, 328 (1966).
¹³ П. Olson, J. Phys. Chem., 72, 4366 (1968).
¹⁴ J. V. Smith, Prepr. of II Intern. Conf. on Moleculare Sieve, 1970, p. 401.
¹⁵ Дж. Рабо, Сборн. Основы предвидения каталитического действия, 2, 1970, стр. 115.
¹⁶ Н. Г. Максимов, В. Ф. Ануфриенко, К. Г. Иопе, ДАН (1973), в печати.